

بررسی ویژگی‌های سنگ‌شناسی، کانی‌شناسی و ژئوشیمی گابروهای جواهردشت (شرق گیلان)

شهروز حق نظر^۱، سارا ملکوتیان^۲، خلیل الهیاری^۳

۱- گروه زمین‌شناسی، دانشکده علوم پایه، دانشگاه آزاد اسلامی واحد لاهیجان

۲- گروه زمین‌شناسی، دانشگاه آزاد اسلامی واحد دماوند

۳- گروه زمین‌شناسی، دانشکده علوم زمین، دانشگاه شهید بهشتی

(دریافت مقاله: ۸۸/۱۸، ۸۹/۳/۸، نسخه نهایی: ۸۹/۳/۸)

چکیده: گابروهای جواهردشت در دامنه شمالی البرز در شرق گیلان بروند دارند. با بررسی‌های صحرایی، سنگ‌شناسی و ژئوشیمیایی در منطقه‌ی جواهردشت دو نوع گابرو شامل گابروهای غیر لایه‌ای و لایه‌ای گروه اول، گابروهای لایه‌ای گروه دوم از یکدیگر تفکیک شدند. گابروهای اول از نظر کانی‌شناسی حاوی پلاژیوکلاز، کلینوپیروکسن، اولیوین و بیوتیت به عنوان یک فاز آذرین اولیه در همراهی با مگنتیت و تیتانومگنتیت هستند. اما گابروهای لایه‌ای گروه دوم برخلاف گابروهای گروه اول فاقد بیوتیت اولیه و تیتانومگنتیت است. از نظر ژئوشیمیایی گابروهای گروه اول محتوای بسیار بالاتری از عنصر قلایی ($Mg^{+}O + K_2O$)، Na_2O و TiO_2 و $Fe_2O_3^{\text{total}}$ در مقایسه با گابروهای گروه دوم دارد. در مقابل گابروهای لایه‌ای گروه دوم دارای مقدادر بالای Mg^{+} و عناصر سازگار (Co, Cr, Ni) در مقایسه با گابروهای اول اند. بررسی‌های ما نشان می‌دهد که گابروهای لایه‌ای گروه اول دارای تعادل عنصری شاخصی با سنگ‌های پوسته ای زیرین بوده و با آن‌ها آلایش یافته‌اند. بررسی‌های ژئوشیمیایی عناصر کمیاب و REE نشان از ریشه‌گیری ماده گابروهای گروه اول از یک گوشه‌ی استنوسفری منبع مورب با رخساره اسپینل دارد. اما گابروهای لایه‌ای گروه دوم از نظر ژئوشیمیایی علائم مربوط به مذاب‌های ریشه گرفته از خاستگاه مورب با رخساره گارنت را نشان می‌دهند. بررسی روند الگوی عناصر کمیاب ناسازگار گابروهای جواهر دشت و مقایسه آن‌ها با بازالت‌های جواهردشت نشان می‌دهد که گابروهای گروه اول به بازالت‌های منطقه وابسته بوده و خویشاوندی‌های پتروژئنیکی و الگوی ژئودینامیکی یکسانی را نشان می‌دهند.

واژه‌های کلیدی: جواهردشت، گابرو، خاستگاه مورب، آلایش پوسته‌ای، ژئوشیمی.

شده‌اند [۱]. غالب رخمنون‌های سنگی در منطقه‌ی جواهردشت به دوران مژوزوئیک وابسته بوده و بروند غالب سنگ‌های آذرین منطقه، توده‌های ماجمایی مافیک گابرویی و بازالتی هستند که در نقشه‌ی ۱:۱۰۰۰۰۰ جواهرده به سن کرتاسه مشخص شده‌اند [۱]. همچنین بروند سنگ‌های رسوبی منطقه

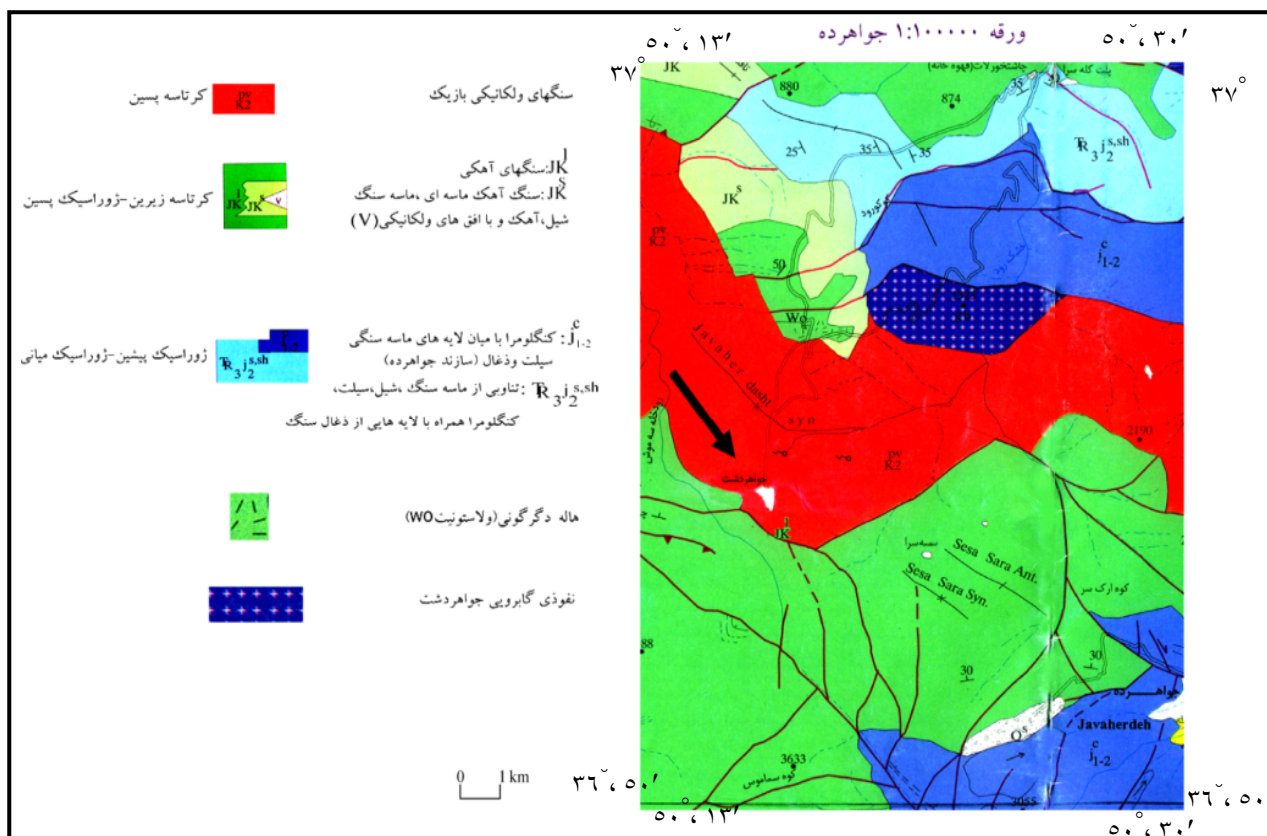
مقدمه

گابروهای جواهردشت در دامنه شمالی البرز در شرق استان گیلان بین طول‌های جغرافیایی $55^{\circ}, 56^{\circ}, 57^{\circ}$ و $36^{\circ}, 56^{\circ}$ و عرض‌های $50^{\circ}, 51^{\circ}, 52^{\circ}$ بروند دارند (شکل ۱). گابروهای مورد بررسی در گوشه شمال شرقی ورقه ۱:۱۰۰۰۰ جواهرده واقع

روش بررسی

با وجود پوشش گیاهی انبوه، جنگلی و صعب العبور بودن منطقه و نبود رخنمون کافی، از بخش‌های مختلف توده‌های گابرویی جواهردشت نمونه برداری صورت گرفت. همچنین این گابروها از نظر ساختاری وجود لایه‌بندی‌های ماقمایی در روی زمین مورد بررسی قرار گرفتند. پس از تهیه ۱۰۰ مقطع نازک از نمونه‌های برداشت شده، بررسی‌های میکروسکوپی و سنگ‌شناختی نمونه‌ها صورت پذیرفت. سپس با توجه به تفکیک صحرایی و سنگ‌شناختی گابروها، ۱۶ نمونه به روش XRF برای تجزیه عناصر اصلی و فرعی (جدول ۱) و ۱۲ نمونه به روش ICP-MS برای تجزیه عناصر REE (جدول ۲) در آزمایشگاه Amdel استرالیا مورد بررسی عنصری قرار گرفتند.

شامل ردیفی از کنگلومرا ضخیم لایه با میان لایه‌های ماسه سنگی به نام سازند جواهرده به سن ژوراسیک زیرین و سازند آهکی معادل لار به سن ژوراسیک فوقانی هستند. گابروی جواهردشت روی ورقه ۱:۱۰۰۰۰۰ گواهرده به صورت یک توده مشخص شده است که از سمت شمال با سازند جواهرده همبrij عادی دارد [۱]. بنا بر بررسی‌های صلواتی و همکاران [۲] گابروهای جواهردشت بخشی از یک دنباله‌ی افیولیتی به نام مجموعه افیولیتی جنوب دریای خزر بوده که دارای سن کرتاسه پایانی هستند، ولی بررسی‌های ما نشان می‌دهد که حداقل دو نوع گابرو با ترکیب شیمیایی، کانی‌شناسی، سن و جایگاه زمین‌ساختی متفاوت در منطقه بروندز داشته که تفکیک و بررسی ویژگی‌های سنگ‌شناختی و ژئوشیمیایی این گابروها موضوع این پژوهش است.



شکل ۱ موقعیت گابروهای جواهردشت در گوشه شمال شرقی ورقه ۱:۱۰۰۰۰۰ جواهرده.

جدول ۱ نتایج تجزیه شیمیایی گابروهای جواهردشت به روش XRF.

Sample	گابروهای لایه‌ای گروه دوم								
	J-1	J-2	J-4	J-5	J-7	J-8	J-3T	J-24	J-3
SiO ₂	۴۵۴۲	۴۵۰۵	۴۷۱۳	۴۵۷۶	۴۷۱۰	۴۷۸۲	۴۶۵۷	۴۷۱۶	۴۸۳۰
Al ₂ O ₃	۴۲۳	۱۳۹۷	۱۲۳۷	۱۴۷۲	۱۱۳۸	۳	۷۲	۱۷۰۴	۱۲۰۷
Fe ₂ O ₃ ^t	۱۲۷۷	۸۸۳	۱۰۶	۱۱۵۶	۱۰۳۶	۱۱۶۲	۱۰۸۶	۷۰۵	۱۰۱۷
CaO	۱۵۴۶	۱۸۱۴	۱۷۳۷	۱۵۶۸	۱۷۲	۱۹۲۴	۱۷۷۳	۱۵۲۴	۹۳۷
Na ₂ O	۰.۱۲	۰.۶۳	۰.۲۴	۰.۱۹	۰.۴۱	۰.۱۴	۰.۱۲	۰.۹۵	۱.۸۸
K ₂ O	۰.۱	۰.۳	۰.۰۱	۰.۰۱	۰.۰۴	۰.۰۴	۰.۰۳	۰.۰۷	۱.۴۵
MgO	۱۹.۱۷	۱۰.۲۷	۱۰.۳	۹.۸	۱۲.۷۲	۱۶.۶۷	۱۵.۶۵	۹.۵۵	۱۳.۲۵
TiO ₂	۰.۳۷۴	۰.۴۳	۰.۲۲۱	۰.۳۷۹	۰.۵۱	۰.۳۶۸	۰.۱۷	۰.۲۹۸	۰.۹۸۵
MnO	۰.۲۰۳	۰.۱۴۲	۰.۱۷۱	۰.۱۸۳	۰.۱۶۸	۰.۱۰۹	۰.۱۸۶	۰.۱۱۴	۰.۱۵۹
P ₂ O ₅	۰.۰۱۲	۰.۰۱۷	۰.۰۱۵	۰.۰۳	۰.۰۲۶	۰.۰۱۴	۰.۰۱۹	۰.۰۱۸	۰.۱۷۵
L.O.I	۱۴۹	۲.۹	۱	۱.۰۰	۰.۰۴	۰.۸۲	۱.۱۸	۲.۲۶	۱.۷۷
Total	۹۹.۲۶	۹۹.۶۰	۹۹.۵۲	۹۹.۸۶	۹۹.۹۴	۹۹.۸۹	۹۹.۷۳	۹۹.۷۴	۹۹.۵۷
Cl	۲۲۲	۲۹۶	۱۳۲	۸۶	۵۳	۱۶.	۱۱	۰.۰۰۱	۰.۰۰۴
S	۳۰	۲۰	۴۶	۱۴	۱۵	۱.	۱۲	۹۸	۶۹۷
Ba	۲۱۴	۱۴۸	۲۵۲	۱۶۰	۱.۶	۱۹۰	۱۵۸	۲۰۱	۴۰۰
Sr	۶۳	۱۴۷	۲۷۷	۴.۹	۱۰۵	۳۱	۱۸۲	۵۶۴	۲۲۹
Cu	۲۹	۲۶	۴۸	۱۳	۲۳	۱۶	۲۸	۳۱	۹۰
Zn	۶۶	۶۲	۷۲	۵۱	۰.۷	۰.۵	۶۳	۴۱	۶۹
Pb	۲	۱	۱	۱	۲	۱	۱	۱۰	۱۳
V	۱۴۸	۱۲۷	۱۵۸	۱۵۸	۱۵۰	۱۳۵	۱۴۶	۱۵۲	۲۷۹
Cr	۹۴۱	۷۷۴	۵۳۶	۳۵۱	۶۹۱	۸۳۱	۶۷۹	۵۰	۶۱
W	<۱	<۱	<۱	<۱	<۱	<۱	<۱	۱	۱
Mo	<۱	<۱	<۱	<۱	<۱	<۱	<۱	۱	۱
Nb	۲	۲	۹	۳	۶	۲	۴	۱۱	۱۳
Zr	۴۳	۴۲	۵۸	۷۱	۴۳	۴۵	۴۷	۷۵	۸۸
Y	۹	۵	۱	۹	۱۱	۹	۱	۱۲	۱۵
Rb	۱۴	۱۱	۱۲	۱۱	۱۳	۱۰	۱۴	۱۴	۰۰
Ni	۳۱۵	۲۲۸	۱۹۱	۱۵۸	۲۶۴	۲۳۵	۲۴۱	۱۳۶	۱۷۵
Co	۶۶	۵۳	۳۳	۲۸	۴۸	۴.	۵۰	۲۸۸	۴۸۵
U	۲	۱	۱	۱	۲	۱	۳	۱	۱
Th	۸	۴	۸	۳	۵	۷	۶	۶	۵

ادامه جدول ۱

Sample	گابروهای لایه‌ای گروه سوم					گابروهای گروه اول		
	J-13	J-14	J-15	J-21A	J-21B	J-30	J-30A	
SiO ₂	۴۵۶۲	۴۶۲۷	۴۶۲۸	۴۷۵۹	۴۷۶۸	۴۹۷۳	۴۹۷۷	۵۰۰۷
Al ₂ O ₃	۱۱.۴۲	۱۷۷۸	۱۰۶۱	۱۲۷	۷۳۰	۱۵۷۶	۱۸۰۹	۹۳۱
Fe ₂ O ₃ ^t	۱۲۲۵	۱۲۸۲	۱۲۷۷	۱۲۲۵	۱۰۰.۴	۱۲۷۳	۱۰.۲۳	
CaO	۱۳۰۶	۱۱.۲۰	۹.۰۱	۱۲۴۵	۱۲۸۷	۱۱.۴	۱۰.۲۳	
Na ₂ O	۱.۰۷	۲۲	۳	۱۲۴	۰.۷۲	۱۷۴	۲۴۱	
K ₂ O	۱.۳۹	۱.۳۵	۱.۷۱	۰.۷۸	۰.۸۳	۰.۸۱	۱.۱۲	
MgO	۱.۰۷	۰.۸۹	۰.۹۲	۱.۰۱	۹.۷۶	۵۰.۲	۰.۷۶	
TiO ₂	۸.۸۷	۱۲۷۰	۱.۱۷۷	۱۲۰۴	۱۹۸۹	۱.۰۰۷	۰.۹۲۸	
MnO	۰.۲۰۶	۰.۱۸۹	۰.۱۶۶	۰.۲۲۲	۰.۲۲۴	۰.۱۷۵	۰.۱۲۴	
P ₂ O ₅	۰.۱۷۷	۰.۲۳۷	۰.۲۷۹	۰.۰۶۸	۰.۰۹۱	۰.۱۳۳	۰.۲۲۱	
L.O.I	۲۰.۷	۰.۶	۰.۳۵	۰.۰۹	۱.۳۷	۱.۲۶	۱.۲	
Total	۹۹.۳۳	۹۹.۹۸	۹۹.۲۸	۹۹.۹۵	۹۹.۹۴	۹۹.۷۶	۹۹.۶۶	
Cl	۱۵۷۰	۴۶۱	۹۶۴	۰.۰۰۴	۰.۰۰۱	۰.۰۰۹	۰.۰۰۷	
S	۲۵۵	۱۷۵	۲۹۱	۲۷۷	۱۳۴	۳۳۷	۳۳۶	
Ba	۴۹۷	۵۰.۲	۴۱۱	۲۴۹	۳.۰	۸۸	۲۸۲	
Sr	۲۶۴	۴۳۷	۵۳۶	۴۴۴	۱۹۸	۵۲۲	۶۴۳	
Cu	۴۴۱	۹۶	۲۵۴	۴۱	۳۷	۱۵۳	۱۴۹	
Zn	۱۱.	۸۸	۶۷	۶۷	۸۷	۶۶	۵۶	
Pb	۱۳	۷	۱۷	۱۶	۱۶	۶	۶	
V	۲۲۷	۲۸۸	۲۸۰	۲۰۸	۰.۵۶	۳۷۷	۳۵۴	
Cr	۲۸۹	۴۸	۹۱	۰.۳	۶.۰	۴۵	۲۲	
W	<۱	<۱	<۱	۱	۱	۱	۱	
Mo	<۱	<۱	<۱	۱	۱	۱	۱	
Nb	۴	۶	۹	۱۲	۱۰	۱۱	۱۳	
Zr	۸۲	۹۵	۱۲۲	۷۴	۶۹	۸۰	۹۷	
Y	۱۲	۱۵	۱۷	۱۴	۱۶	۱۵	۱۶	
Rb	۴۲	۳۷	۵۷	۱۹	۲۳	۲۹	۳۸	
Ni	۱۴۰	۴۳	۶۵	۴۵	۴۵	۳۳	۳۴	
Co	۴۳	۳۰	۲۶	۱۱۵	۲۵۱	۶۲	۴۷	
U	۲	۱	۳	۱	۱	۱	۲	
Th	۸	۳	۹	۲	۳	۵	۴	

جدول ۲ نتایج تجزیه عناصر REE گابروهای جواهردشت به روش ICP-MS بر حسب PPM.

Sample	J-1	J-2	J-4	J-5	J-7	J-3	J-3T	J-13	J-14	J-21A	J-21B	J-30
La	۲,۰۱	۱,۷۶	۰,۶۷	۳,۱۷	۲,۰۱	۳,۶۱	۲,۳۹	۱۱,۴	۲۵,۷	۷,۴۴	۶,۴۸	۱۳,۹
Ce	۷,۰۷	۶	۹,۵	۹,۳۴	۶۶	۷,۱۴	۷,۱	۲۷,۷	۵۴,۳	۱۴,۳	۱۴,۶	۲۴
Pr	۱,۱۶	۱	۱,۲۸	۱,۳	۱,۰۹	۱,۱۹	۱,۱۶	۳۶۲	۵,۱۳	۲,۲۷	۲,۵۷	۳,۵۷
Nd	۷,۲۶	۶,۵۸	۹,۲۴	۷,۸۵	۷,۹۲	۵,۳۶	۸,۱۸	۱۹,۶	۲۹,۸	۱۰,۳	۱۲,۷	۱۴,۸
Sm	۲,۰۵	۱,۶۸	۱,۸۳	۲,۲۲	۱,۷۸	۱,۵۲	۱,۸۳	۳,۷۷	۴,۷۳	۲,۸۲	۳,۷۱	۳,۴۷
Eu	۰,۵۸	۰,۵۶	۰,۶۳	۰,۷۴	۰,۵۶	۰,۶۱	۰,۵۹	۱,۱۹	۱,۲۱	۱,۱۴	۱,۱۱	۱,۱۹
Gd	۲,۱۱	۱,۹۱	۲,۳۳	۲,۱۹	۲,۱۷	۱,۵۹	۲,۲۴	۳,۸۷	۵,۲۰	۲,۹۵	۴,۰۲	۳,۳۶
Tb	۰,۳۴	۰,۲۹	۰,۳۳	۰,۳۶	۰,۳۱	۰,۳۴	۰,۳۲	۰,۵۷	۰,۷۵	۰,۴۷	۰,۶۴	۰,۵۱
Dy	۱,۷۶	۱,۴۲	۱,۵۷	۱,۸۰	۱,۵۴	۱,۲۲	۱,۵۶	۲,۸۴	۳,۲۰	۲,۵۱	۳,۵۵	۲,۷۶
Ho	۰,۳۲	۰,۲۷	۰,۳۱	۰,۳۱	۰,۳۱	۰,۲۵	۰,۲۹	۰,۵۶	۰,۶۰	۰,۵	۰,۷	۰,۵۵
Er	۰,۹۰	۰,۷۹	۱	۰,۹۶	۰,۹۷	۰,۶۵	۰,۹۵	۱,۰۷۲	۲,۰۳	۱۳	۱,۸۵	۱,۴۸
Tm	۰,۱۱	۰,۱۰	۰,۱۳	۰,۱۱	۰,۱۱	۰,۱۹	۰,۱۱	۰,۲۱	۰,۲۷	۰,۱۸	۰,۲۵	۰,۲۱
Yb	۰,۸۲	۰,۶۷	۰,۷۸	۰,۸۴	۰,۷۲	۰,۵۴	۰,۷۴	۱,۳۶	۱,۶۵	۱,۱۸	۱,۶۲	۱,۳۵
Lu	۰,۱۰	۰,۰۷	۰,۱۰	۰,۱۰	۰,۰۹	۰,۰۷	۰,۰۸	۰,۱۶	۰,۱۹	۰,۱۷	۰,۲۲	۰,۲

(سازند جواهرده) نفوذ کرده و قابل بررسی است. به نحوی که بر روی سازند آهکی معادل سازند لار که به فاصله‌ی چند متری شیل‌ها قرار دارد، دگرگونی مجاورتی در حد رخساره پیروکسن هورنفلس شامل کانی‌های ولستونیت، گارنت، پیروکسن و اسفن ایجاد کرده است (شکل ۳). هر چند که به دلیل پوشش جنگلی و صعب العبور بودن منطقه، پیگیری توده در واحدهای مجاور با سختی همراه است ولی با توجه به همبری گرم توده با واحد آهکی لار و تشکیل اسکارن، می‌توان گفت که گابروی غیر لایه‌ای گروه اول (H.g) بروندز قابل توجهی در تشکیل و جایگزین شده و ثانیاً از نظر سنی به بعد از ژوراسیک پسین و احتمالاً کرتاسه زیرین تعلق دارد.

از نظر سنگ‌شناختی، کانی‌های تشکیل دهنده این گابروها به ترتیب فراوانی پلازیوکلаз، پیروکسن، اولیوین و بیوتیت و کانی‌های کدر از نوع مگنتیت و گاهی تیتانومگنتیت‌اند. پلازیوکلازها گاهی به صورت مهمان داخل پیروکسن‌ها مشاهده شده و گاهی نیز پیروکسن‌ها را قطع می‌کنند. این پدیده تشکیل پلازیوکلازها را همزمان با پیروکسن‌ها توجیه می‌کند.

بیوتیت‌ها گاهی به صورت پویی کلیتیکی بلورهای سالم پلازیوکلاز، اولیوین و پیروکسن و کانی‌های کدر را در برگرفته‌اند و این نشان می‌دهد که بیوتیت به عنوان یک کانی اولیه در مراحل آخر انجماد مagma تشکیل یافته است (شکل ۴). با توجه به ترکیب کانی‌شناسی به این سنگ‌ها اولیوین گابروی بیوتیت‌دار گفته می‌شود.

تفکیک صحرایی و سنگ‌نگاری گابروهای جواهردشت با بررسی‌های دقیق صحرایی و سنگ‌شناختی ۱۰۰ نمونه برداشت شده از گابروهای منطقه جواهردشت، نخست سه نوع گابرو از یکدیگر تفکیک شدند:

الف: گابروهای غیر لایه‌ای گروه اول (H.g)

ب: گابروهای لایه‌ای گروه دوم (M.L.g)

ج: گابروهای لایه‌ای گروه سوم (L.L.g)

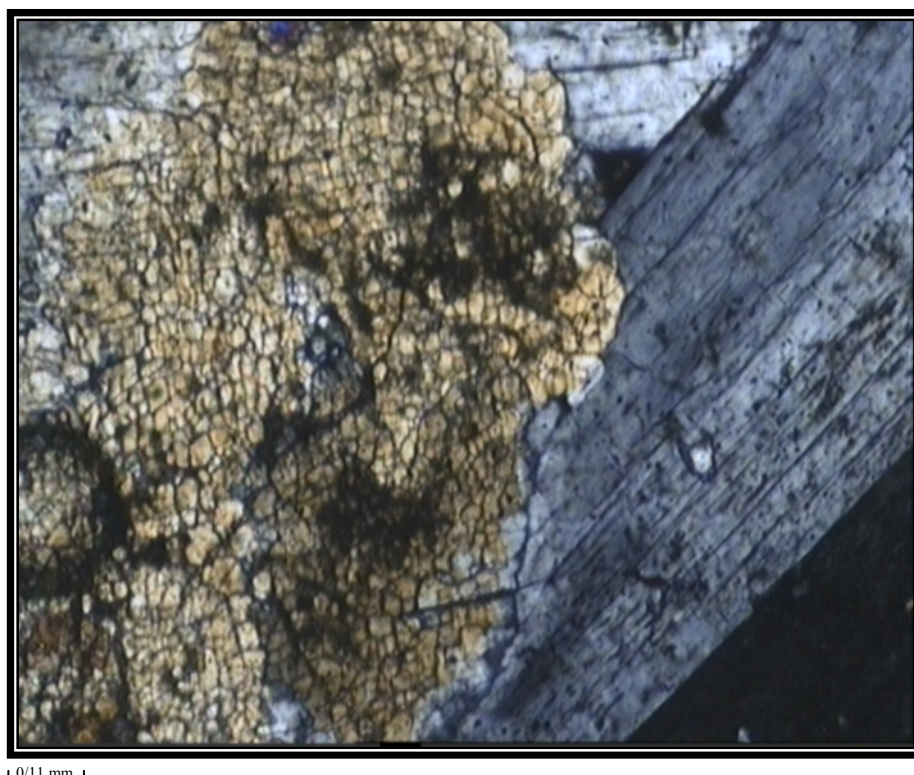
گابروهای غیر لایه ای گروه اول (H.g)

گابروهای غیر لایه‌ای گروه اول (H.g) بروندز قابل توجهی در راستای جاده جواهردشت پیش و پس از معدن «جورکنوس بن» دارند. این گابروها مورد هجوم دایک‌های متعدد قرار گرفته‌اند که ضخامت آن‌ها از چند سانتی‌متر تا چندین متر تغییر می‌کنند، و دایک‌ها شبکه‌های انشعابی تشکیل داده و قطعات گابرویی را در برگرفته‌اند (شکل ۲). این گابروها احتمالاً تحت تأثیر نفوذ این دایک‌ها کاملاً دگرسان شده‌اند، زیرا فقط در بخش‌هایی که از نفوذ دایک‌ها دور بوده‌اند قطعات سالم به چشم می‌خورد. بررسی‌های سنگ‌شناختی دایک‌ها نشان می‌دهند که آن‌ها از انواع بسیار متنوعی شامل میکروگابرو، دلریت و میکرو قلیایی گرانیت‌اند.

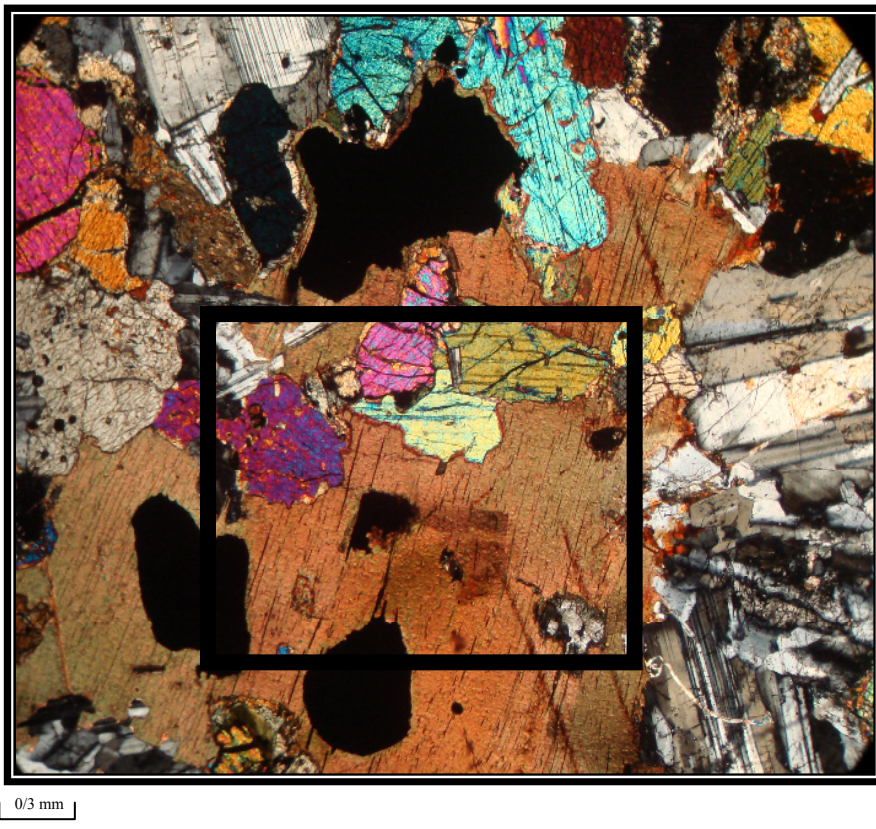
همبری این واحد با گابروهای لایه‌ای گروه دوم گسلیده است، ولی بررسی‌های ما نشان می‌دهد که در بخش جنوبی، توده گابروی به درون سازند شیلی معادل سازند شمشک



شکل ۲ نمایی از گابروی غیر لایه‌ای گروه اول و دایک‌های نفوذ یافته به درون آن‌ها.



شکل ۳ نمایی از بلور پیروکسن (سمت چپ) در کنار ولاستونیت (سمت راست) در هاله دگرگونی مجاورتی وابسته به گابروی غیر لایه‌ای گروه اول.



شکل ۴ نمایی از اولیوین گابروی بیوتیت دار گروه اول که بیوتیت بلورهای پلاژیوکلاز، پیروکسن، اولیوین و مگنتیت را در بر گرفته است.

خصوص تغییر در فراوانی مودال پلاژیوکلاز است به نحوی که نسبت این کانی در یک فاصله عمودی بین لایه‌ها به شدت تغییر می‌کند و متناظراً غنی و تهی می‌شود، به نحوی که در بعضی از لایه‌ها ممکن است کاملاً حذف شود. از آنجا که در این لایه‌بندی، تغییرات منظم متوالی در نوع کانی‌های هر لایه مشاهده می‌شود، بنابراین لایه‌بندی‌ها با آهنگ منظم تکرار شده و لایه‌بندی موزون یا تناوبی (آهنگین) را به وجود آورده‌اند (شکل ۶).

از نظر سنگ‌شناختی به طور کلی سه بخش از لحاظ سنگ‌شناسی در گابروهای لایه‌ای گروه دوم قابل تفکیک‌اند: بخش تیره اولترامافیک شامل نوارهای تیره با ترکیب اولیوین کلینوپیروکسنتیت و اولیوین کلینوپیروکسنتیت پلاژیوکلازدار، بخش روشن مافیک شامل نوارهای روشن که خود شامل دو قسم است: لایه‌ها و نوارهای اولیوین گابرو و گابروی معمولی تا لویکوگابرو، رگه‌های گابروهای پگماتوئیدی و دایک‌هایی با ترکیب بیشتر میکروگابرویی که این مجموعه‌ها را قطع کرده‌اند.

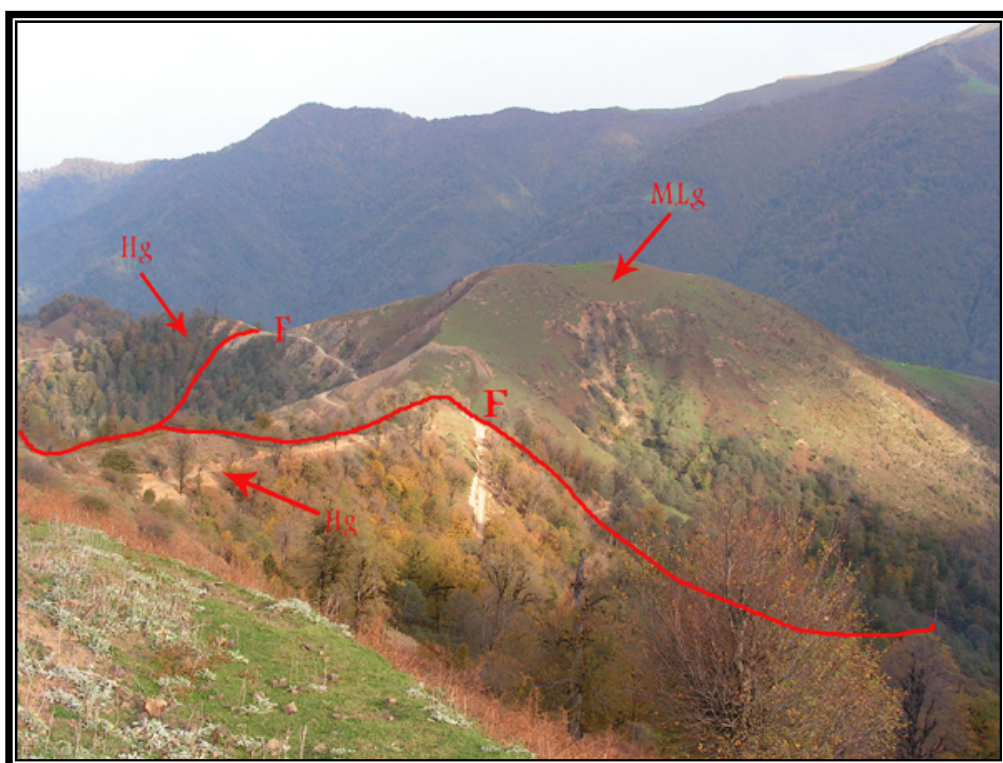
گابروهای لایه‌ای گروه دوم (M.L.g)

گابروهای لایه‌ای گروه دوم (M.L.g) در شمال منطقه جواهردشت و در منطقه «جرکنوش بن» به صورت یک توده گنبدی شکل بروند دارد و همبُری آن با واحدهای مجاور گسل است (شکل ۵). موقعیت رأس توده $50^{\circ}, 23'$ طول شرقی و $36^{\circ}, 55'$ عرض شمالی است. لایه‌بندی ماقمایی به خصوص در رأس توده و در محل معدن «جرکنوش بن» به‌علت برداشت و بروند بلوك‌های سنگی و پوشش گیاهی ضعیفتر به خوبی مشخص است ولی در مناطق دیگر به‌دلیل پوشش گیاهی، لایه‌بندی قابل پیگیری نیست.

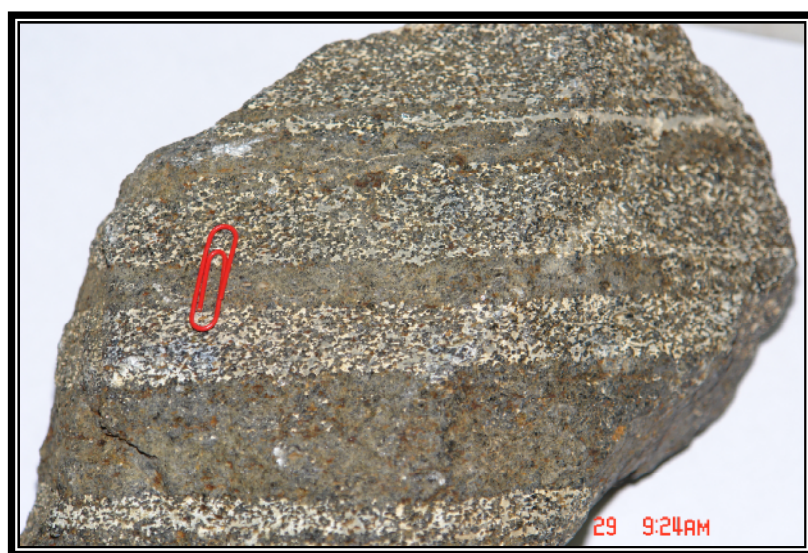
لایه‌ای شدن این سنگ‌ها بیشتر به‌شکل تکرار نوارهای میلی‌متري تا چند سانتی‌متري سنگ گابرویی روشن (لویکوگابرو) است که به‌طور متساوی با سنگ‌های هولوملانوکرات کلینوپیروکسنتیت قرار گرفته است (شکل ۶). این سنگ‌ها ترکیب کانی‌شناسی ساده‌ای دارند و بیشتر از پلاژیوکلاز، اولیوین و پیروکسن تشکیل شده‌اند. لایه‌بندی در این سنگ‌ها معلوم تغییر در فراوانی مودال کانی‌شناسی به-

دهنده آن است که بعضی از این پیروکسن‌ها از نوع دیالاز بوده که در واقع همان اوژیت‌های جدا شده‌اند (شکل ۷). در این نوارها پلاژیوکلازها به صورت اینترکومولوس ما بین بلورهای اوژیت متبلور شده‌اند (شکل ۸).

در نوارهای تیره کانی بیشتر کلینوپیروکسن بوده که بر اساس داده‌های نوری تعیین شده توسط میزوفدروف زاویه‌ی بین n_{D} و محور بلورشناسی c در آنها 43° و از نوع اوژیت است. این کلینوپیروکسن‌ها گاهی رخ سومی را نشان می‌دهند که نشان-



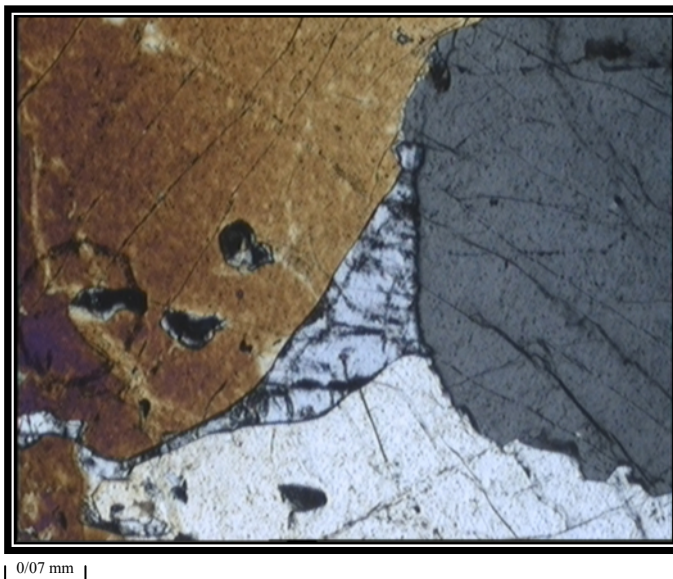
شکل ۵ بروند گابروی لایه‌ای گروه دوم (M.L.g) که با همبُری گسله با واحد گابروهای غیر لایه‌ای گروه اول (H.g) دیده می‌شود.
(دید به سمت شمال شرق)



شکل ۶ لایه‌بندی مودال تنابی در گابروی لایه‌ای گروه دوم با تنابی از اولیوین گابرو و اولیوین کلینوپیروکسنیت پلاژیوکلازدار.



شکل ۷ اوزیت شلیریزه (دیالاز) که اولیوین را در بر گرفته است.



شکل ۸ پلازیوکلاز به صورت اینترکومولوس که بین بلورهای پیروکسن متبلور شده است.

اینترکومولوس بین بلورهای پلازیوکلاز و پیروکسن متبلور شده‌اند (شکل ۹). رگه‌های گابرو پگماتوئیدی به درزهای شکاف‌های کششی ثانویه‌ی ایجاده شده در گابروهای لایه‌ای گروه دوم نفوذ کرده و متبلور شده‌اند (شکل ۱۰). ابعاد بلورهای پلازیوکلاز و پیروکسن در این رگه‌ها به بیش از ۵ سانتی‌متر می‌رسد. همبrijی گابروهای لایه‌ای گروه دوم از سمت شمال و جنوب با واحد گابروی غیرلایه‌ای گروه اول گسل خورده است (شکل ۵) و

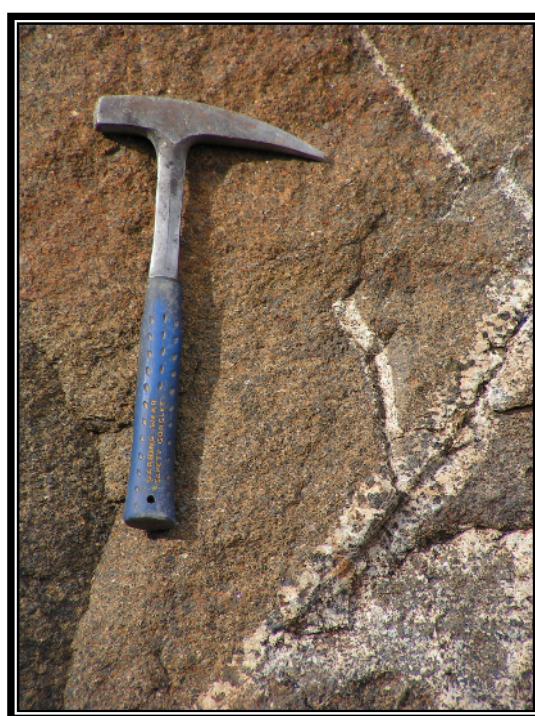
مهمنترین کانی در نوارهای روشن پلازیوکلاز غیر منطقه‌ای بوده است که بر اساس بررسی نوری میزفدروف حداقل زاویه خاموشی آن‌ها یعنی زاویه بین n_{D} و محور بلورشناسی a حدود 45° ، و از نوع بیتونیت است. گاهی پلازیوکلازها منفرد در پیروکسن‌ها قرار گرفته‌اند. بیشتر پلازیوکلازهایی که با پیروکسن‌ها احاطه شده‌اند کوچکتر از پلازیوکلازهای بقیه سنگ‌اند. این نوع پلازیوکلازها هم‌زمان یا قبل از شروع تبلور پیروکسن تشکیل شده‌اند. در این نوارها اولیوین‌ها هم به صورت

های دیگر زئوشیمیایی که در مبحث بعدی به آن اشاره می‌شود، آن را از واحد گابروی لایه‌ای گروه دوم جدا می‌کند که ما از آن به عنوان گابروی لایه‌ای گروه سوم (L.L.g) نام می‌بریم. به علت وجود یک تغییر شیب ناگهانی، به نظر می‌رسد که ارتباط این دو نوع گابروی لایه‌ای، گسلی است.

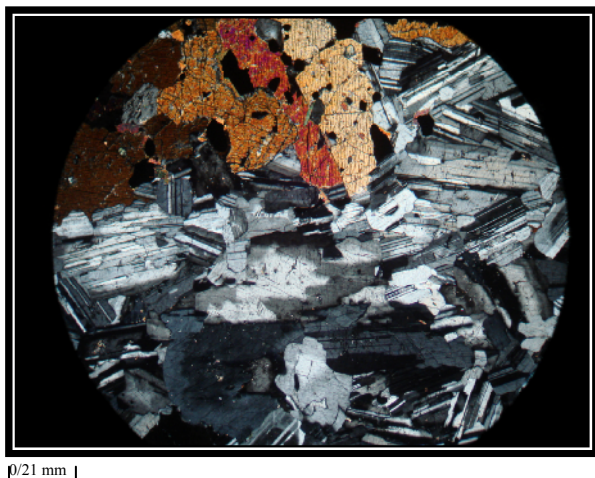
همچنین همبrij آن از سمت جنوب شرق با واحد آهک‌های معادل لار نیز گسلی است. در فاصلهٔ تقریبی ۶۰۰ متری از رأس توده به سمت قاعده، تغییرات مهمی در شیمی و کانی‌شناسی توده رخ داده که حضور بیوتیت به عنوان یک فاز آذرین اولیه و فراوانی کانی‌های مات و پیدایش کانی تیتانومگنتیت و ویژگی-



شکل ۹ بلور اینترکومولوس اولیوین که بین بلورهای پلاژیوکلاز متبلور شده است.



شکل ۱۰ رگه‌های گابروهای پگماتوئیدی.



شکل ۱۲ نمایی از بافت برگه‌ای آذرین در گایبروی لایه‌ای گروه سوم
(در نور XPL)

وجه تمایز دیگر گابروهای لایه‌ای گروه سوم با گابروهای لایه‌ای گروه دوم در ترکیب و نوع کانی‌سازی در دایک‌های قطع کننده گابروهای لایه‌ای گروه سوم است. این دایک‌ها بیشتر دارای ترکیب گابروپورفیری و میکروگابرو بوده که همگی با کانی‌سازی‌های مس، از نوع کالکوپرس مت هم‌اrend.

قاعده گابروهای لایه‌ای گروه سوم نامشخص و پنهان است و بخش فوقانی آن با گابروی لایه‌ای گروه دوم احتمالاً همبری گسلی دارد.

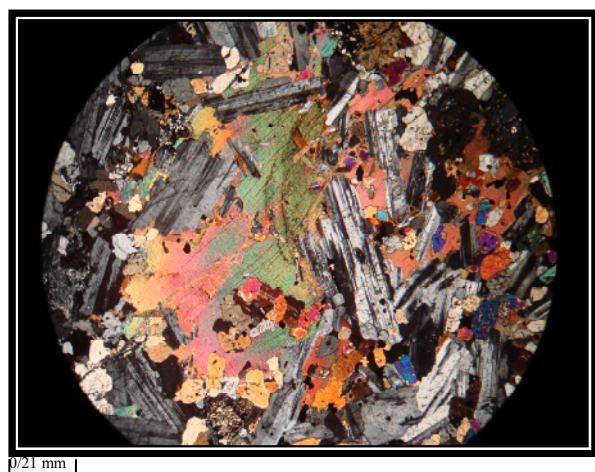
ژئوشیمی عناصر اصلی و فرعی گابروهای جواهردشت

بنابر جدول (۱) وقتی به شیمی عناصر اصلی و کمیاب این سه نوع گابرو توجه شود، تفاوت بین گابروهای لایه‌ای گروه دوم با گابروهای لایه‌ای گروه سوم و غیر لایه‌ای گروه اول روش می-شود. ویژگی‌های ژئوشیمیایی زیر از معیارهای جدایش شیمیاگاههای دشتستان

محتوی عناصر قلیایی ($\text{Na}_2\text{O} + \text{K}_2\text{O}$) در گابروهای جواهردشت تا حدود زیادی با هم تفاوت دارد. فقر شدید در عناصر قلیایی به ویژه K_2O از ویژگی‌های شاخص گابروهای لایه‌ای گروه دوم است که مقدار آن‌ها بین ۰٪-۱۰٪ ($\text{Na}_2\text{O} = ۱۲\%-۱۴\%$) و ($\text{K}_2\text{O} = ۶\%-۷\%$) است. در حالی که گابروهای گروه اول و لایه‌ای گروه سوم محتوای بسیار بالاتری از عناصر قلیایی ($\text{Na}_2\text{O} = ۲۱\%-۳۵\%$) و ($\text{K}_2\text{O} = ۷\%-۱۳\%$) را نشان می‌دهند. مقادیر K_2O وابسته به فراوانی معدی بیوتیت در

گابروهای لایه‌ای گروه سوم (L.L.g)

برونزد در این گابروها به علت پوشش گیاهی انبوه کاملاً نامشخص است، ولی بررسی‌های صحرایی در چند نقطه نشان می‌دهد که در این گابروها نیز لایه‌بندی به صورت تناوبی از اولیوین کلینوپیروکسنتیت پلازیوکلازدار، اولیوین گابرو و آنورتوزیت است. اختلاف مهم کانی‌شناسی با گابروهای لایه‌ای گروه دوم حضور بیوتیت به عنوان یک فاز آذرین اولیه و ثانیاً حضور فراوان کانی‌های مگنتیت و خصوصاً تیتانو مگنتیت است. حضور بیوتیت در کنار تیتانومگنتیت نشان دهنده فشار بخشی بالای اکسیژن و حضور آب در محیط تشکیل است (شکل ۱۱). از نظر حجمی اولیوین گابروها جزء فراوان‌ترین سنگ‌های تشکیل دهنده‌ی این گروه هستند. پلازیوکلاز کانی مهم تشکیل دهنده سنگ بوده و منظرة بافت تراکیتیوئید را به نمایش می‌گذارد که به آن لامیناسیون [بافت برگ‌های آذرین گویند (شکل ۱۲). در این حالت پلازیوکلازهای منطقه‌ای سمت‌گیری موازی یا تقریباً موازی نشان داده و بافتی ایجاد می‌کنند که سرنشی کومولایی بودن سنگ‌ها است [۳]. حضور پلازیوکلاز در اولیوین و پیروکسن بیانگر آن است که پلازیوکلاز پیش و یا همراه این دو کانی تشکیل شده و ترکیب آن بسیار کلسیک است. حداکثر زاویه‌ی خاموشی اندازه‌گیری شده با میز فدوروف بین محور بلورشناسی a و na حدود ۴۵° است که به این ترتیب، ترکیب آن‌ها در حد بیرونی است.



شکل ۱۱ نمایی از بیویت که به صورت پویی کیلیتیکی پیروکسن، اولبیون و پلاژیوکلاز را در برگرفته است. (در نور XPL)

تجربی، گدازه‌های بازالتی با قابلیت تبلور پلازیوکلاز با کلسیم بالا، باید نسبت بالای $\text{CaO}/\text{Na}_2\text{O} > 13$ را داشته باشند. در نظریه دوم، تبلور پلازیوکلاز با کلسیم بالا را ناشی از فشار بخار آب بالا در مagma‌های در حال تبلور می‌دانند [۱۰]. یوهانس [۱۰] با بررسی سیستم‌های $\text{Q}-\text{Ab}-\text{An}-\text{H}_2\text{O}$ و $\text{Ab}-\text{Q}-\text{Ab}-\text{An}-\text{H}_2\text{O}$ در فشار ۵kbar An-H₂O نشان داد که تبلور پلازیوکلاز تحت فشار بخار آب بالا بسیار کلسیک‌تر از تبلور آن در شرایط بدون آب است. بررسی‌های سنگ‌شناسی تجربی سیسان و گرو [۱۱] روی آندزیت‌های بازالتی نشان می‌دهد که تبلور پلازیوکلاز با درصد An بیش از ۹۰ در یک گدازه‌ی بازالتی با نسبت $\text{CaO}/\text{Na}_2\text{O}$ نیازمند $\text{P}_{\text{H}_2\text{O}}$ بالا و در حدود ۲٪ است. بررسی‌های ما نشان می‌دهد که گابروهای لایه‌ای گروه دوم با محتوای پلازیوکلاز کلسیم‌دارتر و نسبت $\text{CaO}/\text{Na}_2\text{O}$ بسیار بالا، از یک magma‌مادر با محتوای $\text{CaO}/\text{Na}_2\text{O}$ بالا (حداقل ۱۳) ریشه گرفته‌اند. ولی magma‌های مادر گابروهای لایه‌ای گروه سوم دارای نسبت $\text{CaO}/\text{Na}_2\text{O}$ کمتر از ۱۳ هستند و می‌باشد حاوی محتوای بالای از آب نسبت به گابروهای لایه‌ای گروه دوم باشند تا باعث تبلور پلازیوکلازهای غنی از An در آن‌ها شوند. وجود کانی آبدار بیوتیت به صورت یک فاز آذرین اولیه و نه تأخیری که در این سنگ‌ها تشکیل شده‌اند، نشان از محتوای آب بالا در magma‌مادر این گابروها دارد.

از نظر عناصر سازگار ($\text{Cr}, \text{Co}, \text{Ni}$) نیز گابروهای لایه‌ای گروه دوم با گابروهای لایه‌ای گروه سوم و غیر لایه‌ای گروه اول متفاوتند. در گابروهای لایه‌ای گروه دوم عناصر و ترکیب‌ها به صورت مقادیر ppm = ۶۸۰ ppm، Cr = ۲۵۰ ppm و Ni = ۴۵ ppm دیده می‌شوند. در گابروهای غیر لایه‌ای گروه اول و لایه‌ای گروه سوم مقادیر عناصر سازگار کمتر از گروه دوم بوده به نحوی که میانگین عناصر سازگار در این گابروها ppm است که با توجه به اعداد منیزیم پایین در آن‌ها، نشانگر شکل‌گیری magma‌مادر گابروهای لایه‌ای گروه سوم و غیر لایه‌ای گروه اول در مقایسه با گابروهای لایه‌ای گروه دوم است.

محتوای عناصر HFS نظیر Zr و Y نیز بین گابروهای لایه‌ای گروه دوم و با گابروهای لایه‌ای گروه سوم و غیر لایه‌ای گروه اول متفاوت است. مقادیر میانگین Zr در گابروهای لایه‌ای گروه دوم ۵۰ ppm است که در گابروهای لایه‌ای گروه سوم به

سنگ‌هاست. نمونه‌های حاوی بیوتیت فراوان، بالاترین مقادیر K_2O را نشان می‌دهند. مقادیر TiO_2 معیار متمايز کننده‌ی دیگری برای این سه نوع گابرو از یکدیگر است. گابروهای لایه‌ای گروه دوم دارای مقادیر بسیار پایین TiO_2 در حدود $(\text{TiO}_2 = ۰.۳۵-۰.۵)$ هستند. در حالی که مقدار TiO_2 در گابروهای لایه‌ای گروه سوم و غیر لایه‌ای گروه اول به ۲٪ وزنی نیز می‌رسد و این موضوع در ارتباط با فراوانی مodal کانی تیتانومگنتیت در این دو نوع گابرو است. فراوانی Fe_2O_3^t نیز در این گابروها متناسب با فراوانی می‌کانی‌های مگنتیت و تیتانومگنتیت و متناسب با مقادیر TiO_2 متفاوت است، به نحوی که در نمونه‌های حاوی درصدۀای بالای مگنتیت و تیتانومگنتیت، حاوی بالاترین مقادیر Fe_2O_3^t (در حدود ۱۵٪ وزنی) بوده که این تفاوت در گابروهای لایه‌ای گروه سوم به خوبی قابل مشاهده است.

مقادیر عدد منیزیم ($\text{Mg}^{\#}$) نیز در این سه نوع گابرو با هم تفاوت دارند. در گابروهای لایه‌ای گروه دوم مقادیر عددی منیزیم بین $63-77 = \text{Mg}^{\#}$ متغیر است. مقادیر پایین به نوارهای روش و مقادیر بالا به نوارهای تیره وابسته‌اند. این اعداد بالاتر از عدد منیزیم magma‌های بازالتی اولیه ($= 70-72$) بوده و نشان‌دهنده ماهیت کومولایی سنگ‌های وابسته است [۴]. مقادیر عدد منیزیم گابروهای گروه اول و سوم بین $44-63 = \text{Mg}^{\#}$ تغییر می‌کند و میانگین آن‌ها ۵۲ بوده است که بیانگر تحول یافته‌گی magma‌مادر آن‌هاست [۵].

نسبت $\text{CaO}/\text{Na}_2\text{O}$ در گابروهای لایه‌ای گروه دوم بسیار بالا و در حدود میانگین ۹۱ است، در حالی که این نسبت در گابروهای گروه اول و سوم بین ۴۲۸-۲۰ است. بررسی magma‌های اولیه با خاستگاه MORB با شاخص > 70 $\text{CaO}/\text{Na}_2\text{O} > ۵$ و $\text{Al}_2\text{O}_3 > ۱۶\text{Mg}^{\#}$ پلازیوکلازها همواره ترکیبی کمتر از An_{85} دارد [۶ و ۷]. بررسی‌های سنگ‌شناختی و اندازه‌گیری‌های صورت گرفته روی پلازیوکلازهای لایه‌ای نوع دوم و سوم نشان می‌دهند که درصد این پلازیوکلازها بیش از ۸۵ است. دو نظریه برای تفسیر ترکیب‌های پلازیوکلازها با کلسیم بالا وجود دارد. اولین نظریه، یک magma‌مای اولیه با نسبت‌های بسیار بالای > 13 CaO/Na₂O را نشان می‌دهد [۷ و ۸ و ۹]. بر اساس داده‌های

در شکل (۱۵) مقایسه مقادیر میانگین عناصر ناسازگار گابروهای گروه سوم و اول با مقادیر پوسته زیرین نشان داده است. همخوانی روند الگوهای عناصر با مقادیر پوسته زیرین به خوبی مشخص است. با توجه به روند عناصر کمیاب ناسازگار و مقایسه‌ی آن‌ها با مقادیر پوسته زیرین و بازالت‌های جواهردشت، مسلم می‌شود که گابروهای لایه‌ای گروه سوم و غیر لایه‌ای مشخص است. با توجه به روند عناصر کمیاب ناسازگار و مقایسه‌ی آن‌ها با مقادیر پوسته زیرین و بازالت‌های جواهردشت، مسلم می‌شود که گابروهای لایه‌ای گروه سوم و غیر لایه‌ای گروه اول کاملاً به بازالت‌های منطقه وابسته بوده والگوی ژئودینامیکی و پتروژنتیکی یکسانی را نشان می‌دهند. با توجه به بررسی‌های ژئوشیمیایی و ایزوتوپی صورت گرفته، جایگاه زمین‌ساختی بازالت‌های جواهردشت کافته‌های درون قاره‌ای است [۱۲] در نتیجه این محیط زمین‌ساختی در مورد گابروهای لایه‌ای گروه سوم و غیر لایه‌ای گروه اول با توجه به ارتباط ژنتیکی آن‌ها با بازالت‌های جواهر دشت قابل تعمیم است.

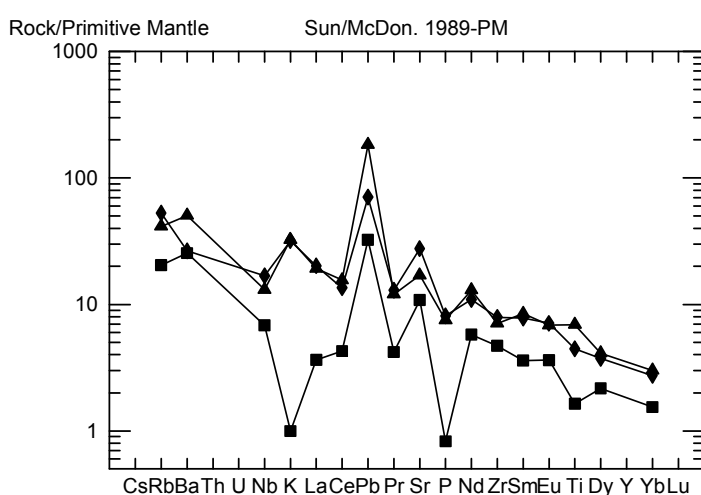
در شکل (۱۶) الگوی میانگین عناصر ناسازگار گابروهای لایه‌ای گروه دوم که نسبت به مقادیر مورب نوع N [۱۳] بهنجار شده‌اند، نشان داده شده است. فقر شدید در K, Ti و P بهنجار شده‌اند، نشان داده شده است. فقر شدید در HREE و HFS در مقایسه با منابع تهی شده (N-MORB) به خوبی مشخص است. غنی‌شدگی انتخابی از عناصر (LIL) غیر از K احتمالاً به دلیل دگرسانی است. بی‌هنجری منفی شدید K و P بازتابی از ماهیت کومولایی این سنگ‌هاست [۱۴].

۸۰ ppm می‌رسد. مقادیر Y گابروهای لایه‌ای گروه دوم حدود ۸ ppm و در گابروهای لایه‌ای گروه سوم و غیر لایه‌ای گروه اول به ۱۵ ppm اول می‌رسد.

این بررسی نشان می‌دهد که گابروهای لایه‌ای گروه سوم و غیر لایه‌ای گروه اول خویشاوندی‌های ژئوشیمیایی و کانی‌شناسی زیادی با یکدیگر داشته و ظاهراً تنها نمودهای ساختاری آن‌ها در روی زمین با یکدیگر تفاوت دارند.

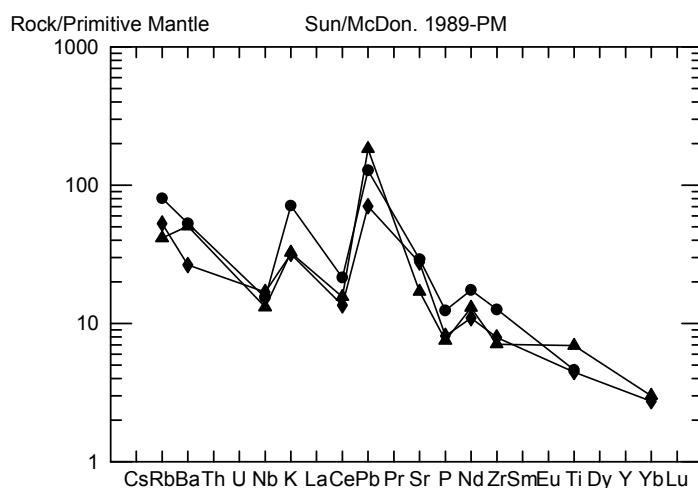
در شکل (۱۳) الگوی فراوانی میانگین عناصر ناسازگار گابروهای جواهر دشت نشان داده شده است. یک همخوانی عنصری قابل توجه بین گابروهای لایه‌ای گروه سوم و گابروهای غیر لایه‌ای گروه اول به چشم می‌خورد، در حالی که گابروهای گروه دوم الگوی تقریباً متفاوتی را نسبت به دو گابروی بالا نشان می‌دهند.

در شکل (۱۴) الگوی فراوانی میانگین عناصر ناسازگار گابروهای گروه سوم و گروه اول با میانگین عناصر ناسازگار بازالت‌های جواهر دشت [۱۲] با هم مقایسه شده‌اند. این گابروها با بازالت‌های منطقه الگوی کاملاً مشابهی را نشان داده و در نتیجه دارای خویشاوندی‌های نزدیک پتروژنتیکی هستند. با توجه به اینکه بازالت‌های جواهر دشت شواهد آلایش پوسته‌ای را نشان می‌دهند [۱۲]، در این صورت با فرض ارتباط ژنتیکی این سنگ‌ها با بازالت‌های جواهردشت، گابروها نیز باید شواهد آلایش پوسته‌ای را نشان دهند.



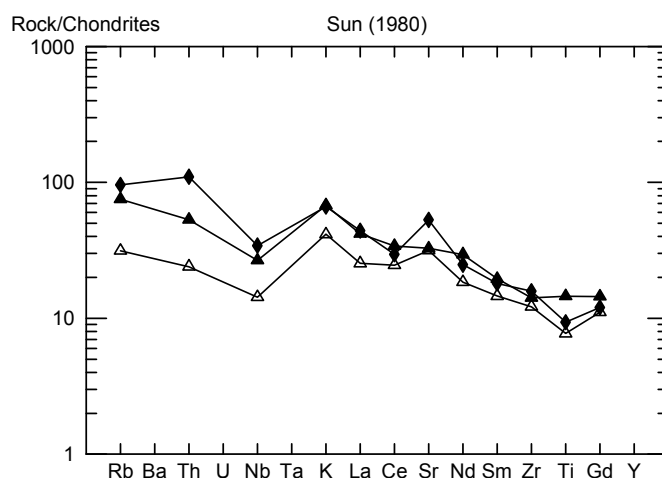
شکل ۱۳ الگوی فراوانی میانگین عناصر ناسازگار گابروهای جواهر دشت که با مقادیر گوشه‌های اولیه [۱۵] بهنجار شده‌اند.

◆ گابروهای غیر لایه‌ای نوع اول ■ گابروهای لایه‌ای نوع دوم ▲ گابروهای لایه‌ای نوع سوم



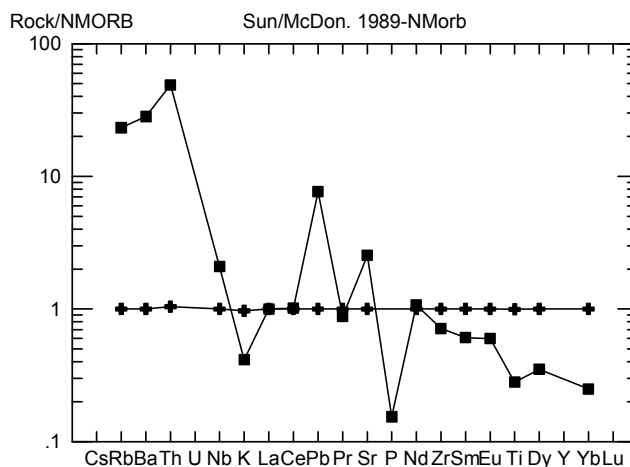
شکل ۱۴ مقایسه‌ی الگوی میانگین عناصر ناسازگار گابروهای گروه اول و سوم با بازالت‌های جواهر دشت [۱۴].

◆ گابروهای غیر لایه‌ای نوع اول ▲ گابروهای لایه‌ای نوع سوم ● بازالت‌های جواهر دشت



شکل ۱۵ مقایسه‌ی الگوی میانگین عناصر ناسازگار گابروهای گروه اول و سوم با مقادیر پوسته‌ی زیرین.

◆ گابروهای غیر لایه‌ای نوع اول ▲ گابروهای لایه‌ای نوع سوم ■ میانگین پوسته زیرین



شکل ۱۶ الگوی میانگین عناصر ناسازگار گابروهای لایه‌ای گروه دوم که نسبت به مقادیر اریب نوع N [۱۵] بهنجار شده‌اند.

هنجاری * Eu/Eu بین $1/2 < Eu/Eu^* < 1/2$ است. در حالیکه ناهنجاری * Sr/Sr بین $2/75 < Sr/Sr^* < 2/79$ است. بیهنجاری مثبت * Eu/Eu توأم با بیهنجاری مثبت * Sr/Sr شاخصهای برای تجمعات کومولایی پلازیوکلازهاست [۱۵ و ۱۶]. در حالیکه بیهنجاری در نمونههای گابرویی لایهای گروه دوم بین $1/0.2 < Eu/Eu^* < 1/0.85$ بوده و بیشتر دارای بیهنجاری نزدیک به صفرند. غیر از نوارهای روشن با اندکی بیهنجاری Eu نوارهای با بیهنجاری منفی دیگر بیانگر جدایش پلازیوکلاز است [۴].

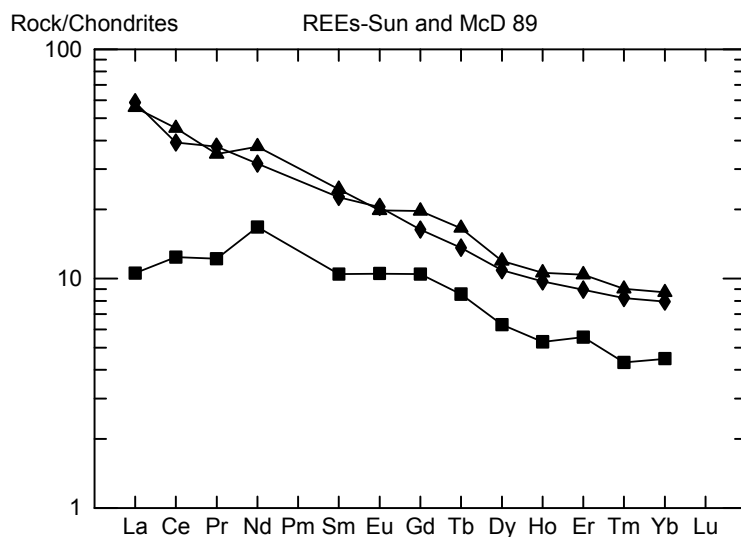
درجه غنیشدنگی از LREE نسبت به HREE غالباً به صورت نسبت $_{\text{N}}(\text{La/Yb})$ گزارش میشود. این نسبت در گابروهای گروه سوم و اول بین $11/19 < \text{La/Yb}_{\text{N}} < 2/79$ است. که بیانگر غنیشدنگی LREE نسبت به HREE در این گابروها است. در گابروهای لایهای گروه دوم که روند و درجه غنیشدنگی REE آنها نسبت به گابروهای لایهای گروه سوم و غیر لایهای گروه اول متفاوت است این نسبت بین $3/38 < \text{La/Yb}_{\text{N}} < 1/76$ بود که این نیز تا حدودی غنیشدنگی LREE نسبت به HREE را نشان میدهد.

ژئوشیمی عناصر نادر خاکی گابروهای جواهر دشت

بنابر جدول (۲) وقتی به مقادیر REE گابروهای جواهر دشت دقیق شود، اختلاف بین نمونههای مختلف گابرویی روشن میشود. در شکل (۱۷) الگوی میانگین REE گابروهای جواهر دشت که با کندریت [۱۳] بهنجار شدهاند، نشان داده شده است. گابروهای گروه سوم و اول الگوهای کاملاً مشابه و همخوانی عنصری خوبی را نشان میدهند.

غنیشدنگی از LREE (با میانگین غنیشدنگی ۱۰ برابر کندریت) نسبت به HREE (با میانگین غنیشدنگی ۱۱ برابر کندریت) در آنها کاملاً مشخص است. در مقایسه غنیشدنگی از LREE در گابروهای لایهای گروه دوم تا ۱۱ برابر کندریت و غنیشدنگی از HREE تا ۴ برابر کندریت است. نسبت $_{\text{N}}(\text{La/Sm})$ که درجه غنیشدنگی LREE و درجه جدایش آنها را نشان میدهد در گابروهای لایهای گروه سوم و غیر لایهای گروه اول نسبتاً بالا و در حدود $1/13-3/51$ است که بیانگر غنیشدنگی از LREE است. این نسبت در گابروهای لایهای گروه دوم بین $1/3-6/3$ است که بیانگر غنیشدنگی در REE است.

در گابروهای لایهای گروه سوم و غیر لایهای گروه اول بی



شکل ۱۷ الگوی میانگین REE گابروهای جواهر دشت.

◆ گابروهای غیر لایهای نوع اول ■ گابروهای لایهای نوع دوم ▲ گابروهای لایهای نوع سوم

نسبت Zr/Nb در حدود ۰,۶ و Y/Nb در حدود ۰,۸ است [۱۳]. بنابراین نسبت‌های بالای Zr/Nb و Y/Nb دلالت بر ریشه‌گیری از یک گوشتۀ تهی شده خاستگاه مورب دارد. مقادیر Zr/Nb و Y/Nb در گابروهای لایه‌ای گروه دوم یک شاخص برای گابروهای کومولایی ریشه گرفته از مذاب‌های نوع مورب است [۲۰]. اما پایین بودن نسبت Zr/Nb و Y/Nb در گابروهای لایه‌ای گروه سوم وغیر لایه‌ای گروه اول دلالت بر ریشه‌گیری گوشتۀ غنی شده ندارد زیرا به دلیل وجود شواهد آلایش پوسته‌ای که این گابروها تحمل کرده‌اند مقادیر Y/Nb و Zr/Nb کاهش می‌یابند [۱۸] و احتمالاً مقادیر اولیه (پیش از آلایش) بالاتر از نسبت‌های بالا بوده و ریشه‌گیری از یک خاستگاه تهی شده برای آن‌ها پیشنهاد می‌شود. به عقیده‌ی ویلسون [۱۸] در بسیاری از مناطق ریفتی درون قاره‌ای مثل اتیوبی و ریوگراند، استنسفر در حال صعود، گوشتۀ خاستگاه مورب است. این مورد درباره ریفت‌هایی که بیشترین و فعل‌ترین نرخ کشش را نشان می‌دهند مشاهده می‌شود.

نسبت La/Nb در گابروهای لایه‌ای گروه دو $1 \leq La/Nb < 1$ است در حالی که این نسبت در گابروهای گروه سوم و اول > 1 است. عموماً گدازه‌های ریشه گرفته از گوشتۀ استنسفری خاستگاه مورب دارای نسبت $1 < La/Nb < 1$ هستند در حالی که در نمونه‌های ریشه گرفته از گوشتۀ غنی شده و یا نمونه‌های آلایش یافته با پوسته قاره‌ای دارای نسبت $1 < La/Nb \leq 1$ هستند [۲۱].

گابروهای لایه‌ای گروه دوم به خوبی ریشه‌گیری از یک خاستگاه گوشتۀ استنسفری مورب را نشان می‌دهند و چنان‌که پیش از این بیان کردیم، گابروهای لایه‌ای گروه سوم وغیر لایه‌ای گروه اول همراه با بازالت‌های منطقه‌ی جواهردشت شواهد آلایش پوسته‌ای را نشان می‌دهد که این سبب تهی-شدگی Nb در نمونه‌ها و افزایش نسبت La/Nb در این سنگ‌ها شده است. در شکل (۱۸) مقایسه‌ی الگوی میانگین عناصر نادر خاکی گابروهای گروه اول و سوم جواهردشت با گستره‌ی تغییرات عناصر نادر خاکی ماقماهای مناطق ریفتی [۱۸] نشان داده شده است. همخوانی الگوی تغییرات کاملاً مشخص است.

از آنجا که هیچ یک از فازهای اولیوین، پیروکسن، پلازیوکلاز، اسپینل و گارنت نمی‌تواند به طور مؤثری La از Yb جدا کنند [۱۷] و از آنجا که تبلور جدایشی اولیوین، پیروکسن و پلازیوکلاز نیز نمی‌تواند جدایش بین عنصری را در نمونه‌ها ایجاد کند و تنها باعث افزایش مقادیر REE در نمونه‌های REE شکل می‌شود، لذا ویژگی‌ها و شکل الگوهای REE مانند گرفته در ماگمای شکل گرفته حفظ شده [۱۸] و نسبت‌های $(La/Yb)_N$ در این سنگ‌ها کاملاً بازتاب دهنده‌ی ویژگی ذاتی خاستگاه این گابروهای است. نشانه و اثر وجودی گارنت بر جا مانده در خاستگاه، از روی مقدار HREE بهنجار شده با کندریت مشخص می‌شود [۱۹]. غنی‌شدنی کمتر از ۱۰ برابر کندریت می‌تواند ناشی از حضور گارنت در خاستگاه گوشتۀ‌ای باشد. زیرا گارنت HREE را در خاستگاه حفظ می‌کند. میانگین گابروهای لایه‌ای گروه دوم تا ۴ برابر کندریت از HREE غنی شده‌اند که دلیلی بر حضور گارنت در خاستگاه است. گابروهای لایه‌ای گروه سوم وغیر لایه‌ای گروه اول ۱۰ برابر و بیشتر از HREE غنی‌شدنی کندریت نشان می‌دهند و موجب می‌شود تا سهم گارنت در مقایسه با اسپینل کمتر مورد قبول واقع شود. این مورد که اسپینل به عنوان فاز اصلی گوشتۀ‌ای خاستگاه این گابروها محسوب می‌شود در بازالت‌های جواهردشت که همخوانی‌های پتروزنیتیکی با این گابروها (منظور گابروهای لایه‌ای گروه سوم وغیر لایه‌ای گروه اول) نشان می‌دهند نیز به اثبات رسیده است [۱۲].

بررسی نسبت‌های عناصر کمیاب ناسازگار به عنوان معرفه‌ای پتروزنیتیکی

دامنه‌ی تغییرات Zr/Nb در گابروهای لایه‌ای گروه دوم < 22.5 و با میانگین $16 < Zr/Nb < 22.5$ و در گابروهای لایه‌ای گروه اول $1 < Zr/Nb < 16$ است. نسبت Y/Nb در گابروهای لایه‌ای گروه دو برابر $4.5 < Y/Nb < 1$ و در گابروهای گروه سوم و اول $1 < Y/Nb < 4.5$ است.

در منابع تهی شده (مورب نوع N) نسبت Zr/Nb در حدود ۳۰ و نسبت Y/Nb در حدود ۱۲ است. در مورب نوع P نسبت Zr/Nb بین ۵ تا ۳۰ میانگین ۱۰ بوده و نسبت Y/Nb در حدود ۲۶۵ است. در حالی که در منابع غنی شده OIB

شکل ۱۸ الگوی میانگین REE گابروهای گروه اول و سوم جواهردشت با گستره‌ی تغییرات عناصر نادر خاکی ماقماهای ریفتی درون قاره‌ای (به رنگ زرد) اقتباس از ویلسون [۱۹].

◆ گابروهای غیر لایه‌ای نوع اول ▲ گابروهای لایه‌ای نوع سوم

با گابروهای لایه‌ای گروه دوم هستند که در واقع فاقد کانی‌های یاد شده هستند. نمودهای ژئوشیمیایی چون درصدهای بالای TiO_2 , K_2O و Na_2O و درصدهای پایین Co , Cr و Ni و اعداد منیزیم کم تا متوسط از شاخصه‌های ژئوشیمیایی اختلاف با گابروهای لایه‌ای گروه دوم هستند. بررسی‌های ما نشان می‌دهد که ماقمای گابروهای لایه‌ای گروه سوم و غیر لایه‌ای گروه اول از یک خاستگاه گوشتۀ استنسوفری خاستگاه مورب با رخساره اسپینل ریشه گرفته است که به درجاتی با سنگ‌های پوستۀ زیرین آلوه شده‌اند. با توجه به همبrijی گرم گابروها و دگرگونی در سنگ‌های آهکی مجاور در حد رخساره پیروکسن هورنفلس و با توجه به آلایش پوسته‌ای، به نظر می‌رسد که تشکیل و جای‌گیری این گابروها در یک محیط قاره‌ای صورت پذیرفته است. اما نسبت‌های Zr/Nb و Y/Nb و مقادیر متوسط آن‌ها در گابروهای گروه دوم نشان می‌دهد که این کومولالا از گذاره‌های نوع مورب حاصل شد، بهنحوی که مقایسه میانگین گابروهای گروه دوم با مقادیر N-MORB نشان از تشکیل این گابروها از خاستگاه‌های تهی شده دارد. نسبت‌های LREE/HREE در گابروهای گروه دوم بیانگر گارنت بر جا مانده در خاستگاه آن-

برداشت

با بررسی صحرایی، سنگ‌شناختی و ژئوشیمیایی عناصر اصلی و کمیاب و REE به این نتیجه می‌رسیم که گابروهای لایه‌ای گروه سوم و غیر لایه‌ای گروه اول دارای خویشاوندی‌های ژئوشیمیایی و کانی‌شناسی هستند ولی نمود ساختاری و شکل‌گیری آن‌ها در یک مخزن ماقمایی متفاوت بوده به نحوی که گابروهای گروه اول فاقد لایه‌بندی ماقمایی هستند. بررسی‌های ژئوشیمیایی نیز نشان می‌دهند که گابروهای لایه‌ای گروه اول گابروهای لایه‌ای گروه سوم و بازالت‌های جواهردشت اساساً هم ماقما (Comagmatic) بوده و همه‌ی آن‌ها شواهد آلایش پوسته‌ای را به خصوص با پوستۀ زیرین نشان می‌دهند. به نظر می‌رسد که گابروهای لایه‌ای گروه سوم از ماقمای بخش‌های زیرین یک حجره‌ی ماقمایی ریشه گرفته که در اثر فرایندهای مشابه با توده‌های لایه‌ای لایه‌ای بزرگ مثل بوشولد و اسکارگارد و در ابعاد کوچک و در محیط تکتونوماقمایی ریفتی درون قاره‌ای شکل گرفته‌اند. نمودهای کانی‌شناسی همچون حضور بیوتیت به عنوان یک فاز آذرین اولیه و حضور فراوان تیتانومگنتیت و مگنتیت از شاخصه‌های کانی‌شناسی اختلاف این دو نوع گابرو

- ophiolite complex, northern Papua new Guinea", J. Petrol.* 22(1981)1-40.
- [9] Green D.H., Ware N.G., Hibberson W.O., "Experimental petrology and petrogenesis of Apollo 14 basalts".*Proceedings of the 3rd Lunar science conference.* 1(1972)197-206.
- [10] Johannes W., "Melting of plagioclase in the system Ab-An-H₂O and Q-Ab-An-H₂O at P_{H2O} = 5Kbar ,an equilibrium Problem".*Contrib. Mineral. Petrol.* 66(1987)295-303.
- [11] Sisson T.W., Grove T.L., "Experimental investigations of the role of H₂O in calc-alkaline differentiation and subduction zone magmatism".*Contrib. Mineral. Petrol.* 113 (1993) 143 - 160.
- [12] حق نظر ش، "پترولوجی سنگ‌های ماغمایی مافیک محدوده جواهردشت در شرق گیلان (جنوب شرق شهرستان رودسر)"، رساله دکتری پترولوجی، دانشکده علوم زمین، دانشگاه شهید بهشتی، (۱۳۸۸).
- [13] Sun S.S., McDonough W.F., "Magmatism in the oceanic basalts" [A.D. Saunders & M.J.Norry, Her ausgeber], Geol.Soc.Special Publ. 42 (1989) 313-345.
- [14] Hanchar J.M., Watson E.B., "Zircon saturation thermometry". In: Hanchar, J.M.& Hoskin, P.W.O., eds. Zircon. Rev. Mineral. Geochem. 53(2003)89-112.
- [15] Offler R., Shaw S., "Hornblende Gabbro Block in Serpentinite Melange, Peel- Manning Fault system, New South Wales, Australia: Lu-Hf and U-Pb Isotopic Evidence for Mantle-Derived, late Ordovician Igneous Activity". J. Petrol. 114(2006)211-230.
- [16] Nagihara S.S., Casey J.F., "Whole-Rock geochemistry of amphibolites and metagabbros from the west Iberia margin, Leg173". Proceeding of the ocean Drilling program, Sci.Res. 173(2001) 1-20.
- [17] Pearce J. A., "Role of sub – continental lithosphere in magma genesis at active continental basalts and mantle xenoliths", Shiva, Nantwich. (1983) 230-249.
- [18] Wilson M., "Igneous petrogenesis-A global tectonic approach", Unwin Hyman London, (1989)466p.

هاست. محتوای بسیار پایین K₂O و TiO₂ در آن‌ها به دلیل ماهیت کومولای آن‌ها و مشابه کومولای مافیک افیولیتی است [۲۲].

قدرتانی

در اینجا لازم است از راهنمایی‌های استاد بزرگوار جناب دکتر منصور وثوقی عابدینی و جناب دکتر محمد پورمعافی تشكر و قدردانی کنیم. همچنین از نظرها و پیشنهادهای داوران محترم مجله در ارتقای سطح علمی مقاله سپاسگزاری می‌شود.

مراجع

- [۱] بهار فیروز و همکاران، "نقشه زمین‌شناسی ۱:۱۰۰۰۰ جواهرده"، سازمان زمین‌شناسی و اکتشافات معنده کشور، (۱۳۸۲).
- [۲] صلوانی م، کنعانیان ع، صمدی صوفی ع.ر، زعینیا ف، "شیمی کانی‌های اصلی سنگ‌های اولترامافیک مجموعه افیولیتی جنوب دریای خزر (خاورگیلان): شواهدی از تفریق بلور در فشار بالا"، مجلة بلورشناسی و کانی‌شناسی ایران، شماره ۱۵۰ (۱۳۸۸) ص ۱۶۶-۱۵۰.
- [۳] Wager L.R., Brown G.M., Wadsworth W.J., "Types of Igneous comulates". J. Petrol. 1(1960) 73-85.
- [۴] Hopper D.J., Smith I.M., "Petrology of the gabbro and sheeted basaltic intrusives at North Cape, New Zealand". New Zealand Journal of Geology and Geophysics. 39(1996) 389-402.
- [۵] Kelemen P.B., Hanghoj K., Greene A.R., "One view of the geochemistry of subduction-related magmatic arcs. With an emphasis on primitive Andesite and lower crust". Treatise on Geochemistry. 3(2004)593-659.
- [۶] Green D.H., Jaques A.L., "Petrogenesis of mid-ocean ridge basalts. In: McElhinny, M.W., ed. the Earth: its origin, structure and evolution". London, Academic press.(1979)265-295.
- [۷] Bender J.F., Hodges F.N., Bence A.E., "Petrogenesis of basalts from the project Famous area: experimental study from 0-15Kbar". Earth. Planet.Sci.Lett. 41(1978) 277-302.
- [۸] Jaques A.L., "Petrology and petrogenesis of cumulate peridotites and gabbros from the Marum

- ambient asthenospheric mantle".* Earth. Planet. Sci. Lett. 203(2002)479-498.
- [21] Thompson R.N., Morrison M.A., Hendry G.L., Parry S.J., "An assessment of the relative roles of a crust and mantle in magma genesis: an elemental approach". Phil Trans. R. Soc. Lond. A310 (1984)549-590.
- [22] Coleman R.G., "Ophiolites", Springer Verlag. (1977).
- [19] Jung, C., "Geochemische und Isotopengeochemische Untersuchungen an tertiaeren Vulkaniten der Hocheifel-ein Beitrag zur Identifizierung der Mantelquellen von Riftbezogenen Vulkaniten", Dissertation zur Erlangung des Doktorgrades Naturwissenschaften, vorgelegt dem Fachbereich Geowissenschaften der Philipps-Universität Marburg .(2003).
- [20] LeRoux P.J., LeRoux A.P., Schilling J-G., Shimizu N., Perkins W.W., Pearce N.J., "Mantle heterogeneity beneath the southern Mid-Atlantic Ridge: trace element evidence for contamination of